

傾斜海浜上におけるソリトンとその変形

安田孝志*・三島豊秋**・土屋義人***

1. 緒 言

海岸波浪のソリトンモード表示に関するこれまでの研究においては、水深およびその変化率が重要なパラメータであるにも拘わらず、一様水深が仮定され、海底地形の影響は無視されて来た。こうした扱いは、海底地形の変化が緩やかな浅海域における特定観測点での時間波形のみを対象とする限りでは許されるが、海岸波浪の傾斜海浜上における伝播やそれに伴う巨視的特性の空間変化を記述する場合には問題となって来る。特に、異なる観測点での波形記録から、各ソリトンモードへのエネルギー配分を決定するソリトンスペクトルの標準形を見い出し、海岸波浪の巨視的記述を行なうには、傾斜海浜上におけるソリトン解を導き、これを基に水深およびその変化率をパラメータとしたソリトンスペクトルの表示法を確立し、各観測点における海底形状のソリトンスペクトルに及ぼす影響を補正することが必須となる。

斜面上の孤立波（ソリトン）の変形に関する研究はこれまで数多くなされて来たが、その理論的研究は解析解の誘導に優れた特色を持つ斜面上の KdV 方程式が角谷によって導かれるに及んで急速に進むようになり、最近では、この問題はせつ動を受けた KdV 方程式のソリトン解の誘導問題として一般化され、逆散乱法や広田の方法によって解析解も導かれている¹⁾。

本研究では、角谷によって導かれた斜面上の KdV 方程式の解析解を矢嶋の方法¹⁾によって求め、一様な緩斜面上における分散波を含んだソリトンモード解を示すとともに、一様水深場から一様傾斜海浜場に伝播して来たソリトンの浅水化に伴う変形特性を明らかにする。

2. 斜面上の KdV 方程式の双1次形式

ここでは、反射波が無視出来る程度の緩斜面上でのソリトンを扱うことから、角谷によって導かれた次式の斜面上の KdV 方程式を基礎方程式として用いる。

$$\eta_t + \frac{3}{2\epsilon c^3} \eta_{\xi\xi} + \frac{c}{6} \eta_{\xi\xi\xi} + \frac{h_r^*}{4c^2} \eta = 0 \dots \dots \dots \quad (1)$$

ここに、

$$\left. \begin{aligned} \xi &= \epsilon^{1/2} \left(\int dx^*/c - t^* \right), & \tau &= \epsilon^{3/2} x^*, \\ z'/h_0 &= \eta, & x^* &= x/h_0, & t^* &= t\sqrt{g/h_0}, \\ c &= \sqrt{h^*}, & h^* &= h(\tau)/h_0, & \epsilon &= (h_0/L)^2 \end{aligned} \right\} \dots \dots \dots \quad (2)$$

であり、また、 x ：水平座標、 t ：時間、 z' ：平均水面周りの水位変動、 h_0 ：初期水深 $h(0)$ 、 h 、 τ に依存する各地点ごとの水深、 L ：海岸波浪の代表波長、および g ：重力の加速度である。ここで、次式の変換

$$\eta = c^4 u/9, \quad X = \int c d\tau / 6 \dots \dots \dots \quad (3)$$

を式 (1) に適用すれば、角谷の式は次式のように書換えられる。

$$u_x + uu_\xi + u_{\xi\xi\xi} + 9h_x^* u/4h^* = 0 \dots \dots \dots \quad (4)$$

さらに、広田にならって次式の変換

$$u = 12(\log F)_{\xi\xi} \dots \dots \dots \quad (5)$$

を行ない、 ξ で積分すると次式が導かれる。

$$\begin{aligned} & 12(FF_{X\xi} - F_X F_\xi + F_{\xi\xi\xi}) \\ & - 12(4F_\xi F_{\xi\xi\xi} - 4F_{\xi\xi}^2) \\ & + 27h_x^* FF_\xi/h^* + CF^2 = 0 \dots \dots \dots \quad (6) \end{aligned}$$

ここで、 C は X の任意関数であるが、 η は局在波の条件 $|\xi| \rightarrow \infty; \eta \rightarrow 0$ を満たすとすれば、 $C=0$ と置くことができる。式 (6) を次式の双1次形演算子

$$D_\xi^m = (\partial/\partial\xi - \partial/\partial\xi')^m |_{\xi=\xi'} \dots \dots \dots \quad (7)$$

によって整理すると、傾斜海浜上の KdV 方程式の双1次形式が次式のように導かれる。

$$[D_x D_\xi + D_\xi^4] FF = -9h_x^* FF_\xi/2h^* \dots \dots \dots \quad (8)$$

3. 緩斜面上のソリトン解

3.1 ソリトン解の誘導

一様水深場におけるソリトン解は、式 (8) において $h^*=0$ とすることによって導かれ、次式で与えられる。

$$\left. \begin{aligned} F &= 1 + \exp(-2\phi_0), \\ \phi_0 &= K_0(\xi - 4K_0^2 X) \end{aligned} \right\} \dots \dots \dots \quad (9)$$

ここに、 K_0 ：一様水深場のソリトンの振幅 A_0 と次の関係にある任意定数である。

* 正会員 工博 岐阜大学助教授 工学部土木工学科

** 学生会員 岐阜大学大学院工学研究科

*** 正会員 工博 京都大学教授 防災研究所

す。一様水深場から緩斜面への進入直後に‘plateau’および‘tail’から成る分散波が発生するため、ソリトンの振幅は一度減少した後に増大して行く傾向にあることがわかる。この傾向は、 λ が増すに従って著しくなり、分散波の発生を考慮していない -1 乗則と大きく異なって行くが、逆に λ の値が0.01程度になると、 -1 乗則との相違は無視出来るようになることがわかる。

図-2は、式(39)によって与えられる峯高 η_c の浅水変化を示したものである。この場合には、‘plateau’の影響も考慮されているため、斜面上への進入直後に生じる急減衰も小さく、結果的には、却ってRayleighの仮定に基づく -1 乗則に近くなっている。

図-3は、Streetら²⁾によって提案された孤立波の波高変化に関する実験式による結果との比較を示したものであり、図中の×印は碎波点を示す。波高変化の傾向に相違はあるものの、両者はほぼ対応しているものと判断される。

図-4は、式(31)によって計算したソリトンの波峯での曲率 ρ の浅水変化を一様水深場での曲率 ρ_0 に対する比として示す。この場合には入による影響は小さく、波峯での曲率から見たソリトンの波形変化に及ぼす斜面勾配の影響は小さいことがわかる。

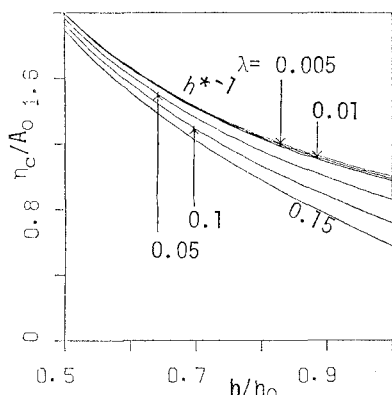


図-2 ソリトンの峯高の浅水変化

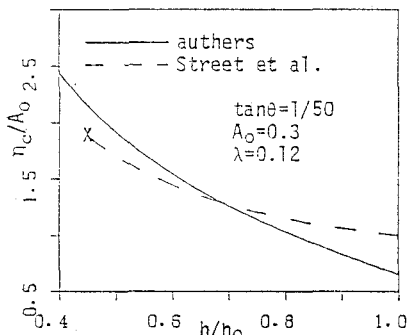


図-3 Streetらの実験式との比較

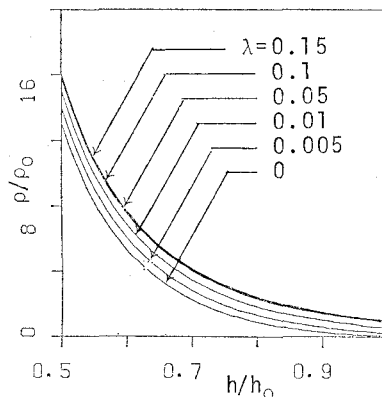
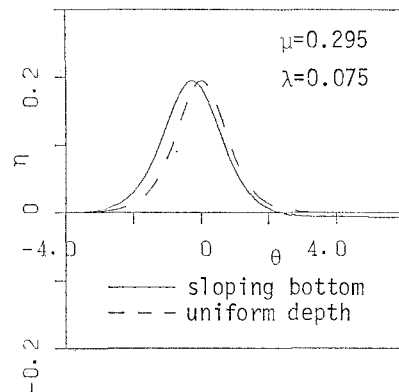


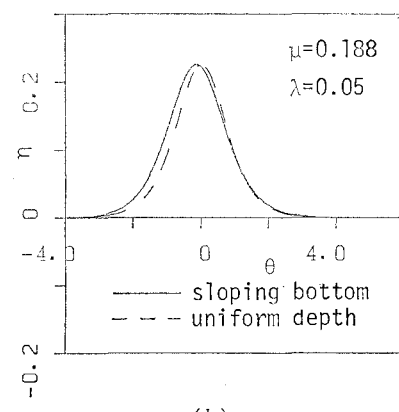
図-4 ソリトンの波峯の曲率の浅水変化

4.3 波形の前傾化の浅水変化

ソリトンの前傾は式(36)における $2\alpha\theta$ の項によって引起される。そこで、ソリトン幅パラメータとして知られる $\phi=-1$ の位相での $2\alpha\theta$ の値によって、ソリトンの前傾化の程度を評価する。ソリトンの前傾化を表わす指標を $\mu=2\alpha\theta$ とすれば、式(35)を用いることにより、指標 μ は次式で定義される。

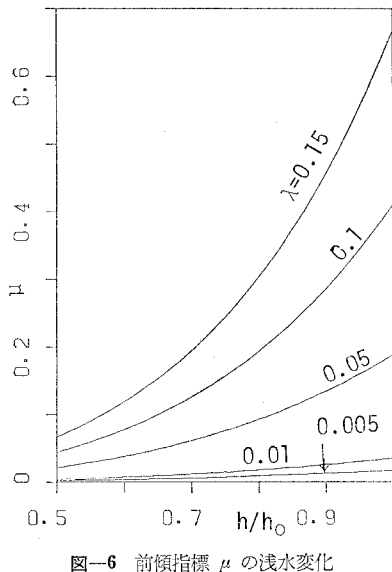


(a)



(b)

図-5 一様水深場と緩斜面上のソリトンの波形の比較

図-6 前傾指標 μ の浅水変化

$$\mu = \sqrt{(2 - 3\sqrt{3}\lambda h^{*3})^2 + 8\sqrt{3}\lambda h^{*3}} - 2 + 3\sqrt{3}\lambda h^{*3} \quad \dots \dots \dots \quad (42)$$

図-5 は、式(42)によって定義された μ と式(20)による波形の前傾との対応を見るため、一樣水深場と傾斜海浜上での $h/h_0=0.99$ ソリトンのにおける波形との比較を示したものである。これから、波形の前傾指標として μ が適切であることがわかる。

図-6 は、前傾化指標によって浅水化に伴うソリトンの前傾化の変化を示したものである。波形の前傾化は入の値が増すに従って著しくなるが、いずれの場合も斜面上への進入直後に最も前傾が大きくなり、その後は浅水化に伴って一様に減少していることがわかる。これは、前述の図-4 に示した浅水化に伴う曲率の急増によって前傾が抑えられるためと考えられ、このときのソリトンの波形変化は崩れ波型碎波に至る浅水変形に対応したものと考えられる。

4.4 分散波の影響

前述の式(20)によって示されるように、斜面上ではソリトンに随伴して必ずしも分散波が生じるが、斜面上への進入直後では ‘plateau’ と ‘tail’ が互いに打消し合うため、ソリトンへの影響は現れない。しかしながら、一定距離の伝播後には ‘plateau’ と ‘tail’ の位相がずれ、これらの影響が陽になって来る。

図-7 は $\lambda=0.061$ について式(20)による波形の浅水変化を示したものである。 $h/h_0=0.9$ において分散波の影響が最も強く現れているが、無視出来る程度の影響

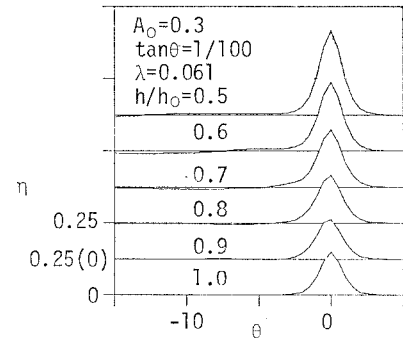


図-7 分散波を伴うソリトンの波形の浅水変化

であり、しかも、これよりも浅水化が進むと相対的に分散波の影響は弱くなるため、 $\lambda=0.061$ 程度では分散波の影響は無視出来るものと判断される。

5. 結 言

矢嶋の手法によって導かれた斜面上の KdV 方程式のソリトン解を基に、一樣水深場から緩斜面上に進入してきたソリトンの浅水変形特性について検討を行い、 $\lambda=\tan \theta / A_0^{3/2}$ がこのときのパラメータとなることを示した。その結果、斜面勾配の影響を受けたソリトンは ‘plateau’ および ‘tail’ から成る分散波を励起することによって安定化するため、Rayleigh の仮定に基づく水深の -1 乗則による結果とは異なり、ソリトンの振幅は分散波の励起に伴って急減少した後に増大に転じる浅水変化を示すことがわかった。しかしながら、Rayleigh の仮定とは逆に、分散波を含めた場合の見掛けのソリトンの峯高の浅水変化は、却って水深の -1 乗則に近くなり、見掛けの峯高の浅水化を扱う実験式との比較も良好になることを見い出した。また、ソリトンの波形の歪みを波峯の曲率および前傾化によって評価し、勾配が $1/50$ 以下の緩斜面上では曲率の効果によって前傾が抑えられ、前傾よりも波形の尖鋭化が進むことがわかった。分散波のソリトンの波形に及ぼす影響は $\tan \theta / A_0^{3/2}$ が 0.05 以下であれば無視出来る程度であり、一樣水深場のソリトンモードが斜面上においても安定と考えて問題のないことが明らかとなった。

参 考 文 献

- Yajima, N.: Application of Hirota's method to a perturbed system, Jour. Phys. Soc. Japan, Vol. 51, No. 4, 1982, pp. 1298~1302.
- Street, R. L. and F. F. Camfield: Observations and experiments on solitary wave deformation, Proc. 10th Conf. on Coastal Eng., 1966, pp. 284~301.